

# Агрегированные оценки вероятности успеха социоинженерной атаки: устойчивость структуры политик доступа

А. А. Азаров<sup>1</sup>, А. В. Суворова<sup>2</sup>

Санкт-Петербургский институт информатики и автоматизации РАН

<sup>1</sup>artur-azarov@yandex.ru, <sup>2</sup>suvalv@gmail.com

**Аннотация.** Доклад посвящен разработке метода анализа устойчивости структуры политик доступа пользователей информационной системы к социоинженерным атакующим воздействиям злоумышленника; под анализом устойчивости в данном случае понимается расчет агрегированных оценок вероятности успеха социоинженерного атакующего воздействия злоумышленника, другими словами – вероятности получения злоумышленником доступа к тем или иным конфиденциальным данным, хранящимся в информационной системе. Подход основывается на данных о степени выраженности уязвимостей пользователей информационных систем, расчете вероятностных оценок, а также формировании более устойчивой к социоинженерным атакующим воздействиям структуры политик доступа пользователей, и строится на основании генетических алгоритмов. Такой подход позволяет определить наиболее устойчивую к социоинженерным атакующим воздействиям злоумышленника конфигурацию пользователей информационной системы. В докладе описаны общие принципы предлагаемого подхода и приведены результаты вычислительных экспериментов.

**Ключевые слова:** социоинженерная атака; вероятностная модель; генетический алгоритм

## I. ВВЕДЕНИЕ

Современные темпы развития цифровых коммуникаций, связывающие в единое целое все большее количество различных частей жизнедеятельности человека, вызывают серьезные опасения у специалистов, ответственных за обеспечение информационной безопасности [6].

Внедрение цифровых коммуникаций происходит не только на уровне повседневной жизни человека, но и в корпоративной среде. Корпоративная информация приобретает все большую ценность, соответствующим образом растут и бюджеты на защиту такой информации. Для успешного решения задач защиты информации разрабатываются все более совершенные методы защиты [5–7, 10, 11]. Вместе с тем, гораздо в меньшей степени изучаются вопросы, связанные с различными воздействиями на пользователей информационных систем, нацеленными на получение конфиденциальных

корпоративных данных [9]. Подобного рода воздействия могут быть объединены термином социоинженерная атака злоумышленника, а отдельно взятое воздействие – социоинженерное атакующее воздействие злоумышленника.

В докладе рассматривается метод анализа устойчивости структуры политик доступа пользователей корпоративной информационной системы к социоинженерным атакующим воздействиям злоумышленника. Под анализом устойчивости в данном случае понимается расчет агрегированных оценок вероятности успеха социоинженерного атакующего воздействия злоумышленника, другими словами – вероятности получения злоумышленником доступа к тем или иным конфиденциальным данным, хранящимся в информационной системе. Подход основывается на данных о степени выраженности уязвимостей пользователей информационных систем, расчете вероятностных оценок, а также формировании более устойчивой к социоинженерным атакующим воздействиям структуры политик доступа пользователей, и строится на основании генетических алгоритмов. Такой подход позволяет определить наиболее устойчивую к социоинженерным атакующим воздействиям злоумышленника конфигурацию пользователей информационной системы.

## II. МОДЕЛИ КОМПЛЕКСА «КРИТИЧНЫЕ ДОКУМЕНТЫ – ИНФОРМАЦИОННАЯ СИСТЕМА – ПЕРСОНАЛ – ЗЛОУМЫШЛЕННИК»

В докладе рассматриваются модели, ранее предложенные в работах [1–4]. Общий комплекс состоит из моделей различных элементов информационной системы в целом, включающих, в том числе, модель пользователя, модель документов, модель системы, модель злоумышленника. Более подробно остановимся на модели пользователя, параметрами которой служат доступ пользователя к тем или иным критичным документам, уровень доступа к этим документам, а также связи между пользователями. На основании данных о связях между пользователями может быть построен граф социальных связей пользователей с нагруженными двунаправленными дугами и нагруженными вершинами. Весами дуг являются вероятности перехода от пользователя к пользователю,

Работа выполнена при финансовой поддержке РФФИ, проект №18-37-00340, и частичной поддержке по проекту по государственному заданию СПИИРАН № 0073-2018-0001

сформированные на основании типа связей пользователей, а весом каждой вершины – полная вероятность успеха социинженерного атакующего воздействия на пользователя информационной системы, построенная на основании степени выраженности уязвимостей пользователя [10]. На основании полной вероятности успеха социинженерного атакующего воздействия злоумышленника предлагается построить вероятность доступа злоумышленника к критичным документам через пользователя, на которого совершено социинженерное атакующее воздействие. С учетом того, что согласно политикам доступа, у пользователей может быть различный уровень доступа к файлам (чтение – создание/модификация – удаление – полный доступ), представляется целесообразным для каждого типа уровня доступа построить такую вероятность. Соответствующие вероятности могут быть обозначены как  $p_r, p_c, p_d, p_f$ . Для каждого отдельного элемента критичной информации (документа) может быть найдена полная вероятность доступа к нему хотя бы через одного пользователя информационной системы.

В качестве примера рассмотрим вероятность доступа к критичной информации с типом доступа «чтение». Вероятность может быть выражена как  $p_{\text{doc-acc}}^r = 1 - (1 - p_{\text{doc1}}^r) \dots (1 - p_{\text{docN}}^r)$  для каждого типа доступа, где  $p_{\text{doc1}}^r \dots p_{\text{docN}}^r$  – вероятности полного доступа к критичному документам 1..N у пользователей с типом доступа «чтение». Таким образом могут быть получены оценки вероятности защищенности критичной информации, хранимой в информационной системе, как для каждого документа отдельно, так и всей информации в совокупности, если будет рассмотрена общая вероятность доступа ко всем документам. Для повышения уровня защищенности могут быть применены меры по изменению политик доступа пользователей к тем или иным файлам. В данном случае информация о вероятности успеха социинженерного атакующего воздействия на пользователя является маркером, по которому может быть произведена коррекция политик доступа пользователей к критичной информации. Для реализации алгоритмов коррекции предлагается использовать генетические алгоритмы.

### III. ОЦЕНКА КАЧЕСТВА РАБОТЫ ГЕНЕТИЧЕСКОГО АЛГОРИТМА

Для оценки качества работы генетического алгоритма предлагается использовать критерий оптимизации по параметру защищенности критичной информации, хранимой в информационной системе, по типу доступа к такой информации, путем изменения политик доступа к ним. Очевидным образом должен быть сформирован набор документов, необходимый пользователям для постоянной работы, в противном случае могут быть критическим образом нарушены бизнес-процессы организации. Поэтому может быть сформировано множество

документов  $D = \left\{ \{Doc_i\}_{i=1}^n, \{Us_i, \{UsR_j\}_{j=1}^4\}_{i=1}^m \right\}$ , где

$\{Doc_i\}_{i=1}^n$  – это набор из  $n$  критичных документов, к которым должен быть предоставлен постоянный доступ,  $Us_i$  – это набор из  $m$  пользователей, которые должны обладать доступом  $UsR_j$  к документам. При этом пользователи могут обладать сразу несколькими типами доступа. Следует отметить, что оптимизация доступа сразу до этого уровня вызовет существенное увеличение времени протекания бизнес-процессов в организации, т.к. пользователи будут вынуждены запрашивать дополнительный доступ каждый раз, когда им понадобится документ, к которым у них отсутствует заранее предопределенный мандатный доступ. Формирование вероятности защищенности критичной информации, хранимой в информационной системе, на основании множества  $D$  позволит сформировать оценку нижней границы допустимой оптимизации. Данная граница, которая может быть обозначена как  $Q_{\min}$ , является множеством границ, рассчитанным для каждого типа доступа  $Q_{\min} = \{Q_{\min}^r, Q_{\min}^c, Q_{\min}^d, Q_{\min}^f\}$ . Вместе с тем, собственники информационной системы могут назначить допустимый уровень риска, то есть минимально допустимый уровень защищенности информационной системы, к достижению которого должен стремиться процесс оптимизации. Обозначим это значение как  $Q_{\max}$ , для этой границы также верно утверждение, что это множество границ, т.е.  $Q_{\max} = \{Q_{\max}^r, Q_{\max}^c, Q_{\max}^d, Q_{\max}^f\}$ .

Далее планируется применить традиционный генетический алгоритм, начальной популяцией которого является начальная конфигурация информационной системы, с имеющимся распределением ролей пользователей и их доступом к документам. Для каждого состояния системы формируется граничная оценка  $Q = \{Q^r, Q^c, Q^d, Q^f\}$ , также происходит сравнение на выполнение ограничений множества  $D$ . Затем производится проверка выполнения критерия  $Q_{\min} < Q < Q_{\max}$ .

### IV. ВЫЧИСЛИТЕЛЬНЫЕ ЭКСПЕРИМЕНТЫ

Разберем пример оптимизации прав доступа пользователей на основе информационной системы, к которой имеют доступ 8 пользователей и в которой содержатся 12 документов. Для упрощения расчетов будем рассматривать только один тип доступа – «чтение». Ниже представлена матрица доступа пользователей информационной системы к документам. Строки матрицы – пользователи информационной системы (u1–u8), а столбцы – документы (табл. I).

Предположим, что для каждого пользователя уже рассчитана полная вероятность успеха социинженерного атакующего воздействия злоумышленника (с учетом социальных связей среди пользователей информационной системы):  $p(u1) = 0,05$ ,  $p(u2) = 0,16$ ,  $p(u3) = 0,12$ ,

$p(u4) = 0,14$ ,  $p(u5) = 0,17$ ,  $p(u6) = 0,13$ ,  $p(u7) = 0,11$ ,  $p(u8) = 0,01$ .

ТАБЛИЦА I ИСХОДНОЕ РАСПРЕДЕЛЕНИЕ ПРАВ

| Пользователи | Документы |   |   |   |   |   |   |   |   |    |    |    |
|--------------|-----------|---|---|---|---|---|---|---|---|----|----|----|
|              | 1         | 2 | 3 | 4 | 5 | 6 | 7 | 8 | 9 | 10 | 11 | 12 |
| u1           | +         | + | + | + | + |   | + | + | + | +  | +  |    |
| u2           | +         | + | + |   |   | + | + | + | + | +  | +  | +  |
| u3           |           |   | + | + | + | + | + | + | + | +  | +  | +  |
| u4           | +         | + | + | + | + | + |   |   |   |    | +  | +  |
| u5           | +         | + |   |   |   | + | + | + | + | +  | +  | +  |
| u6           | +         |   |   | + | + | + | + | + | + | +  | +  | +  |
| u7           | +         | + | + | + | + | + | + | + | + |    |    | +  |
| u8           | +         | + | + | + | + |   | + |   | + | +  | +  | +  |

Соответствующие вероятности будут сопоставлены документам как  $p_r$  в соответствии с тем, к каким документам есть доступ у каждого пользователя, то есть итоговая матрица является результатом покомпонентного произведения вектора вероятностей успеха атакующего воздействия и матрицы доступа.

Для каждого документа может быть рассчитана полная вероятность доступа к такому файлу (в предположении, что доступ каждого пользователя независим), затем может быть рассчитана вероятность  $p_{\text{doc-acc}}^r$ . Данная величина будет критерием оптимизации  $Q$ , а матрица будет являться начальным элементом популяции. В текущей задаче данная вероятность равна 0,99.

Зададим множество  $D$ . В силу того, что в модельном примере рассматривается только тип доступа чтение, данное множество также может быть задано матрицей (табл. II).

ТАБЛИЦА II МИНИМАЛЬНЫЕ ПРАВА ДОСТУПА

| Пользователи | Документы |   |   |   |   |   |   |   |   |    |    |    |
|--------------|-----------|---|---|---|---|---|---|---|---|----|----|----|
|              | 1         | 2 | 3 | 4 | 5 | 6 | 7 | 8 | 9 | 10 | 11 | 12 |
| u1           | +         |   |   |   |   |   |   |   |   |    |    |    |
| u2           |           |   |   |   |   |   |   |   |   | +  |    |    |
| u3           |           |   |   |   |   |   |   |   |   |    | +  | +  |
| u4           | +         |   |   |   |   | + |   |   |   |    |    |    |
| u5           |           |   |   |   |   |   |   | + |   |    |    |    |
| u6           |           |   |   |   |   | + |   |   |   |    |    |    |
| u7           |           |   |   | + | + |   |   |   |   |    |    |    |
| u8           |           |   | + |   |   |   | + |   | + |    |    |    |

В этом случае для каждого документа может быть аналогично рассчитана полная вероятность доступа к каждому файлу, а затем может быть рассчитана вероятность  $p_{\text{doc-acc}}^r$ . Данная величина является граничным значением  $Q_{\min}$ . В текущей задаче данная вероятность равна 0,75.

Каждый новый элемент популяции, генерируемый генетическим алгоритмом, изменяет одну из связей «пользователя – документ», т.е. отменяет/добавляет связь или изменяет ее тип. В случае рассматриваемого примера, связь может быть отменена или добавлена, так как рассматривается только один тип связи. Для каждого нового элемента популяции производится расчет

вероятности  $Q$ , проверяется выполнение условия  $D$ , а также вхождение вероятности  $Q$  в диапазон  $Q_{\min} < Q < Q_{\max}$ . В случае, если это условие выполняется, то работа генетического алгоритма прекращается, а найденный элемент популяции рассматривается как приемлемая оптимизация прав доступа пользователей информационной системы к критичной информации.

С помощью генетического алгоритма ищется такая конфигурация прав доступа, что она соответствует критерию остановки (соблюдены минимальные права доступа и вероятность  $Q$  не превышает заданный порог  $Q_{\max}$ ) и при этом получена из исходной конфигурации минимальным числом изменений. Все расчеты выполнены в среде R [8], пакет genalg [12].

Допустим, что заданный собственниками максимальный уровень риска, допустимый в информационной системе, равен 0,8. Тогда величина  $Q_{\max} = 0,8$ . Результаты работы алгоритма представлены на рис. 1, а итоговая конфигурация прав доступа в табл. III. Общая вероятность  $p_{\text{doc-acc}}^r$  для указанной конфигурации равна 0,797.

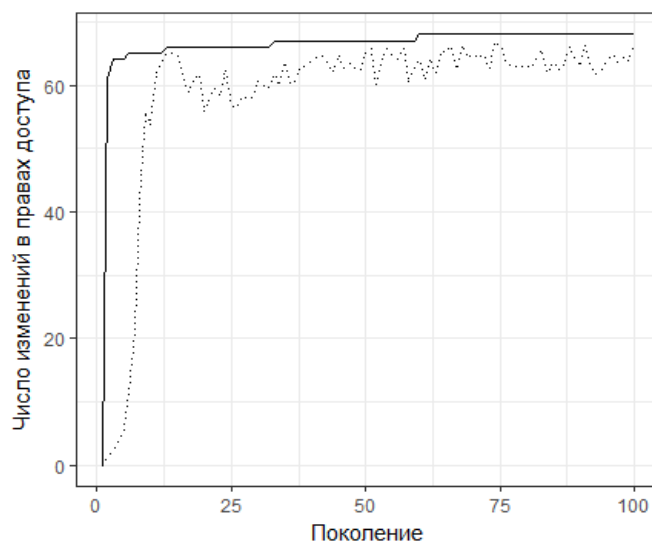


Рис. 1. Сходимость генетического алгоритма для  $Q_{\max} = 0,8$ .

ТАБЛИЦА III КОНФИГУРАЦИЯ ПРАВ ДОСТУПА ПРИ  $Q_{\max} = 0,8$

| Пользователи | Документы |   |   |   |   |   |   |   |   |    |    |    |
|--------------|-----------|---|---|---|---|---|---|---|---|----|----|----|
|              | 1         | 2 | 3 | 4 | 5 | 6 | 7 | 8 | 9 | 10 | 11 | 12 |
| u1           | +         |   |   |   |   | + |   |   |   |    |    |    |
| u2           |           |   |   |   |   |   |   |   |   | +  |    |    |
| u3           |           |   |   |   |   |   |   |   |   |    | +  | +  |
| u4           | +         |   |   |   |   | + |   | + |   |    |    |    |
| u5           |           |   |   |   |   |   |   | + |   |    |    |    |
| u6           |           |   |   |   |   | + |   |   |   |    |    |    |
| u7           |           |   |   | + | + |   |   |   |   |    |    |    |
| u8           |           |   | + |   |   | + | + | + | + |    |    |    |

Рассмотрим еще один пример. Допустим, что заданный собственниками максимальный уровень риска,

допустимый в информационной системе, равен 0,88. Тогда величина  $Q_{\max} = 0,88$ . Результаты работы алгоритма представлены на рис. 2, а итоговая конфигурация прав доступа в табл. IV. Общая вероятность  $p_{\text{doc-acc}}^r$  для указанной конфигурации равна 0,877.

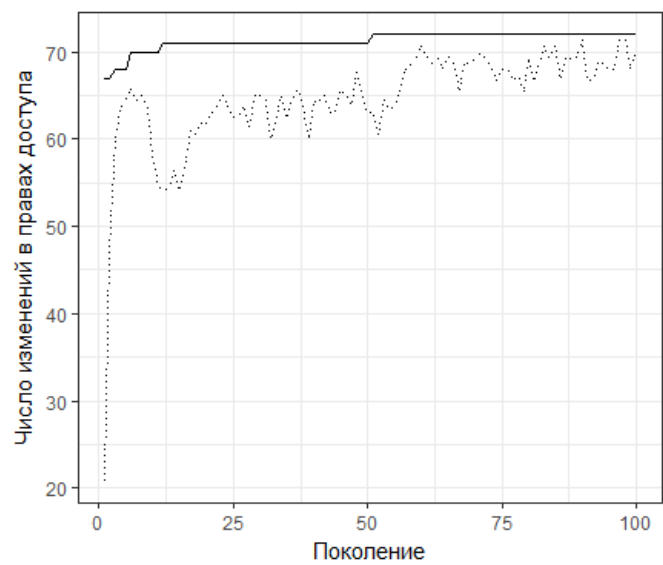


Рис. 2. Сходимость генетического алгоритма для  $Q_{\max} = 0,88$

ТАБЛИЦА IV

КОНФИГУРАЦИЯ ПРАВ ДОСТУПА ПРИ  $Q_{\max} = 0,88$

| Пользователи | Документы |   |   |   |   |   |   |   |   |    |    |    |
|--------------|-----------|---|---|---|---|---|---|---|---|----|----|----|
|              | 1         | 2 | 3 | 4 | 5 | 6 | 7 | 8 | 9 | 10 | 11 | 12 |
| u1           | +         |   |   |   |   | + |   |   |   |    |    | +  |
| u2           |           |   |   | + |   |   |   |   |   | +  |    |    |
| u3           | +         |   |   |   |   |   |   |   |   |    | +  | +  |
| u4           | +         |   |   |   |   | + |   | + | + |    |    |    |
| u5           |           |   |   |   |   |   |   | + |   |    |    |    |
| u6           |           |   |   |   |   | + |   |   |   |    |    |    |
| u7           |           |   |   | + | + |   |   |   |   |    |    |    |
| u8           |           |   | + |   |   | + | + | + | + |    |    |    |

V. ЗАКЛЮЧЕНИЕ

В статье рассмотрен метод анализа устойчивости структуры политик доступа пользователей корпоративной информационной системы при социоинженерных атакующих воздействиях злоумышленника. Подход основывается на данных о степени выраженности уязвимостей пользователей информационных систем, расчете вероятностных оценок, а также формировании более устойчивой к социоинженерным атакующим

воздействиям конфигурации политик доступа пользователей на основании генетических алгоритмов. Отметим, что предложенный подход позволяет построить различные конфигурации политик доступа к конфиденциальной информации, хранимой в информационной системе, соблюдая ряд ограничений и требований. Также в статье приведены примеры расчета устойчивости графов.

СПИСОК ЛИТЕРАТУРЫ

[1] Абрамов М.В., Азаров А.А., Тулупьева Т.В., Тулупьев А.Л. Модель профиля компетенций злоумышленника в задаче анализа защищённости персонала информационных систем от социоинженерных атак // Информационно-управляющие системы. 2016. №4. С. 77–84.

[2] Азаров А.А., Тулупьев А.Л., Соловцов Н.Б., Тулупьева Т.В. SQL-представление реляционно-вероятностных моделей социоинженерных атак в задачах расчета агрегированных оценок защищенности персонала информационной системы с учетом весов связей между пользователями // Труды СПИИРАН. 2013. Вып. 24. С. 41–53.

[3] Азаров А.А., Тулупьева Т.В., Суворова А.В., Тулупьев А.Л., Абрамов М.В., Юсупов Р.М. Социоинженерные атаки. Проблемы анализа. СПб.: Наука, 2016. 352 с.

[4] Azarov A.A., Abramov M.V., Tulupyyeva T.V., Tulupyyev A.L. Users' of Information System Protection Analysis from Malefactor's Social Engeneering Attacks Taking into Account Malefactor's Competence Profile // Biologically Inspired Cognitive Architectures (BICA) for Young Scientists. 2016. P. 25–30.

[5] Gupta B.B., Tewari A., Jain A.K., Agrawal D.P. Fighting against phishing attacks: state of the art and future challenges // Neural Computing and Applications. 2017. Vol. 28, No. 12. P. 3629–3654.

[6] Huda A.S.N., Živanović R. Accelerated distribution systems reliability evaluation by multilevel Monte Carlo simulation: implementation of two discretisation schemes // IET Generation, Transmission & Distribution. 2017. Vol. 11, No. 13. P. 3397–3405.

[7] Liu J., Lyu Q., Wang Q., Yu X. A digital memories based user authentication scheme with privacy preservation // PloS ONE. 2017. Vol. 12, No. 11. P. 0186925.

[8] R Core Team. R: A language and environment for statistical computing. R Foundation for Statistical Computing, Vienna, Austria. 2017. URL: <https://www.R-project.org/>

[9] Schaik P., Jeske D., Onibokun J., Coventry L., Jansen J., Kusev P. Risk perceptions of cyber-security and precautionary behavior // Computers in Human Behavior. 2017. Vol. 62, Issue 11. P. 5678–5693.

[10] Struharik R., Vukobratović B. A system for hardware aided decision tree ensemble evolution // Journal of Parallel and Distrib-uted Computing. 2018. Vol. 112. P. 67–83.

[11] Terlizzi M.A., Meirelles F.S., Viegas Cortez da Cunha M.A. Behavior of Brazilian Banks Employees on Facebook and the Cybersecurity Governance // Journal of Applied Security Research. 2017. Vol. 12, No. 2. P. 224–252.

[12] Willighagen E., Ballings M. genalg: R Based Genetic Algorithm. R package version 0.2.0. 2015. URL: <https://CRAN.R-project.org/package=genalg>